

星間化学における テラヘルツ単一鏡観測の役割

テラヘルツ領域の輝線

@Herschel, CSO...

高励起(高臨界密度)ライン

⇒ 星形成コア中心部の化学

$$\because E(J+1) - E(J) = 2hcB(J+1)$$

$$A_{21} \propto v^3$$

Hydrates

- H_2D^+ & D_2H^+

- CH^+

- OH^+

- Cl

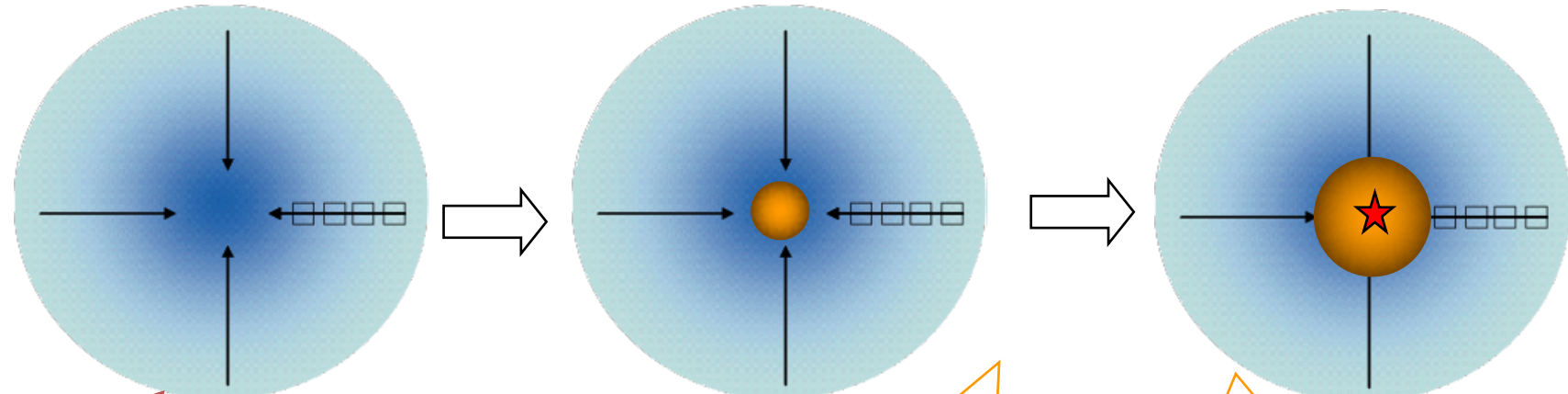


⇒ 重水素の化学

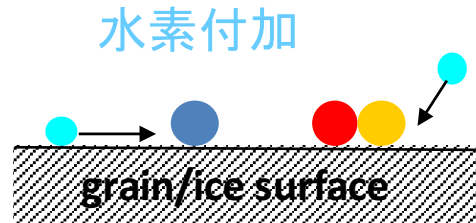
⇒ Diffuse cloud と 分子雲形成

星形成領域の化学

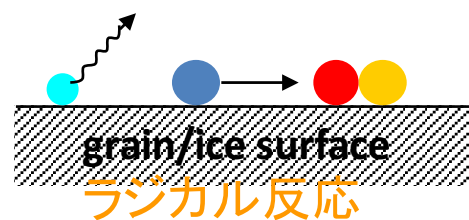
- ◎気相反応と固相の相互作用
- ◎固相の詳細な組成は昇華物を観るしかない



ダスト表面への分子凍結
水素付加
e.g. $\text{CO} \rightarrow \text{CH}_3\text{OH}$
 $T < 20\text{K}$



熱拡散による
ダスト表面反応
 $20\text{K} < T < 100\text{K}$



昇華分子同士の気相反応
 $T > 100\text{K}$

分子種	昇華温度 [K]
H_2CO	39–52
CO_2	50–68
CH_3OCH_3	59–80
C_2H_6	83–110
CH_3O	96–130
CH_3OH	100–140
NH_3	100–140
H_2O	110–150
HCOOCH_3	120–160

Garrod & Herbst (2006); Aikawa et al. (2008)

$@ n_{\text{H}} = 10^6\text{--}10^{12}\text{cm}^{-3}$
Furuva & YA (2014)

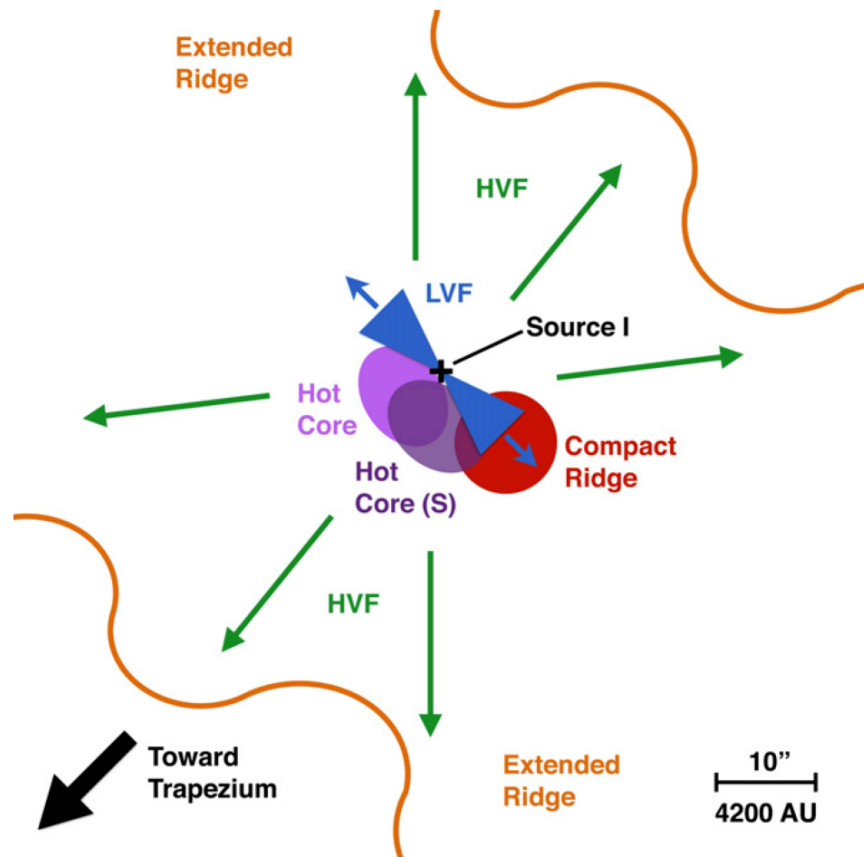
HEXOS (Herschel/HIFI Observations of EXtraOrdinary Sources)

(Crockett et al. 2014; 2015)

- ◎39分子種(79同位体種)からの~13000本のラインを検出
- ◎Spectral feature (v_{lsr} , dv)のfitでhot core, compact ridge, plateau , extended ridgeを切り分け
- ◎N-bearing, S-bearingの輝線はO-bearingよりも高温領域から放射

空間分解能

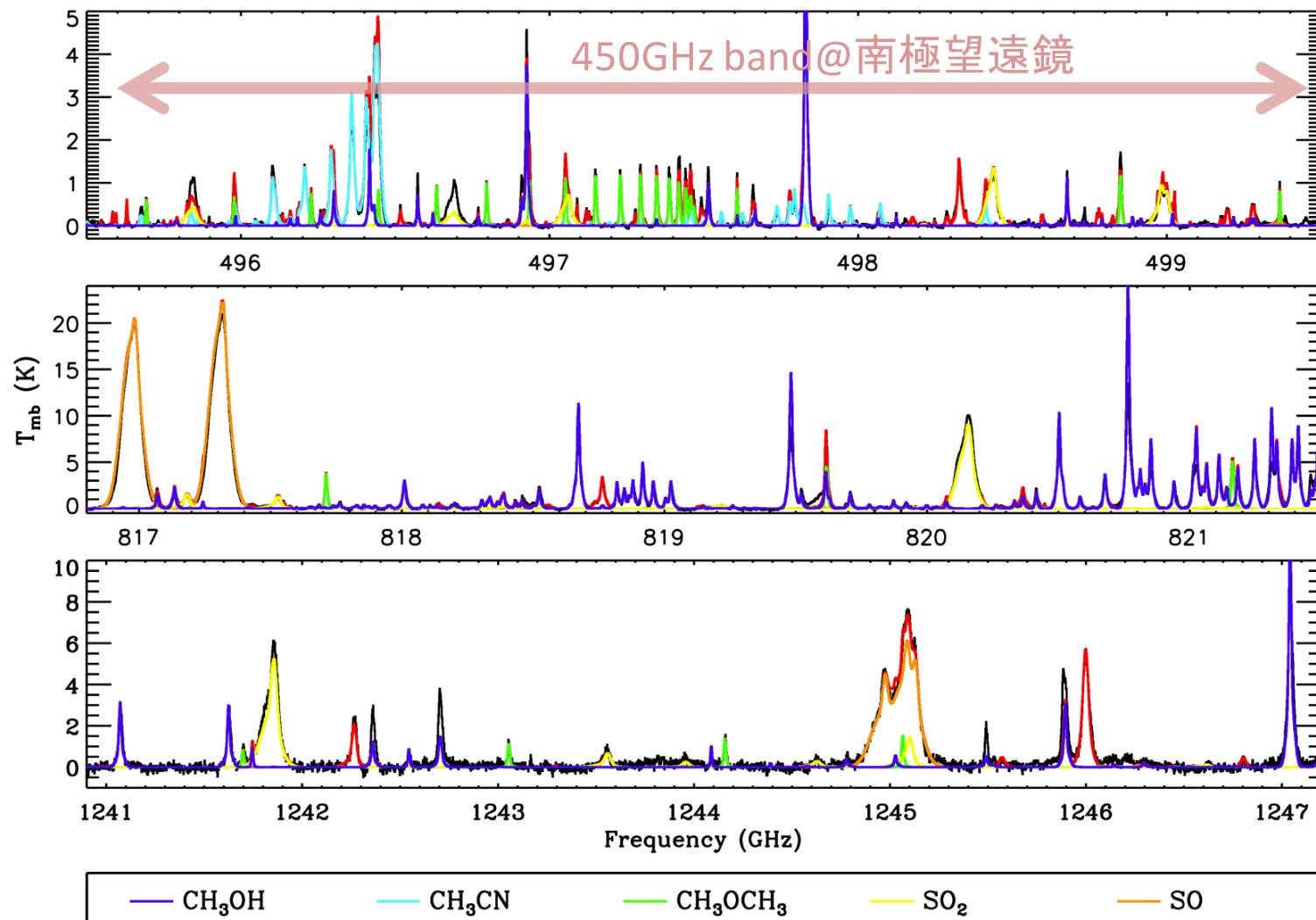
Herschel 44''@480GHz, 11''@1900GHz
(cf. 南極10m 17''@460GHz, 5.7''@1300GHz)



HEXOS (Herschel/HIFI Observations of EXtraOrdinary Sources)

(Crockett et al. 2014; 2015)

- ◎39分子種(79同位体種)からの~13000本のラインを検出
- ◎Spectral feature (v_{lsr} , dv)のfitでhot core, compact ridge, plateau , extended ridgeを切り分け
- ◎N-bearing, S-bearingの輝線はO-bearingよりも高温領域から放射



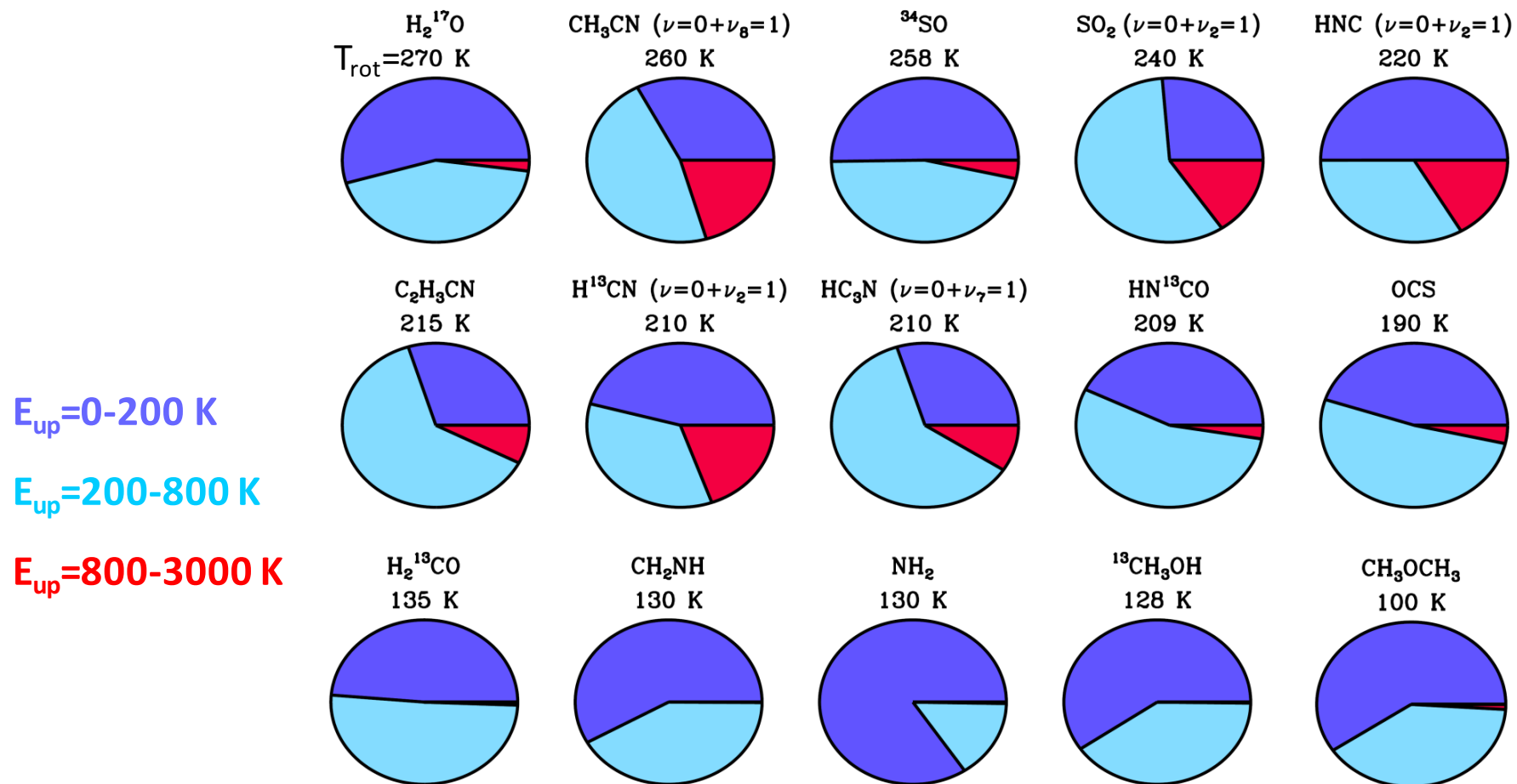
HEXOS (Herschel/HIFI Observations of EXtraOrdinary Sources)

(Crockett et al. 2014; 2015)

◎39分子種(79同位体種)からの~13000本のラインを検出

◎Spectral feature (v_{lsr} , dv)のfitでhot core, compact ridge, plateau , extended ridgeを切り分け

◎N-bearing, S-bearingの輝線はO-bearingよりも高温領域から放射



Fraction of total integrated intensity originating states in E_{up}

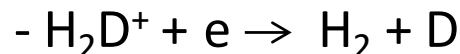
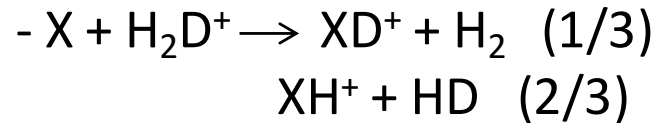
重水素濃縮とo/p比



Exothermic exchange reactions

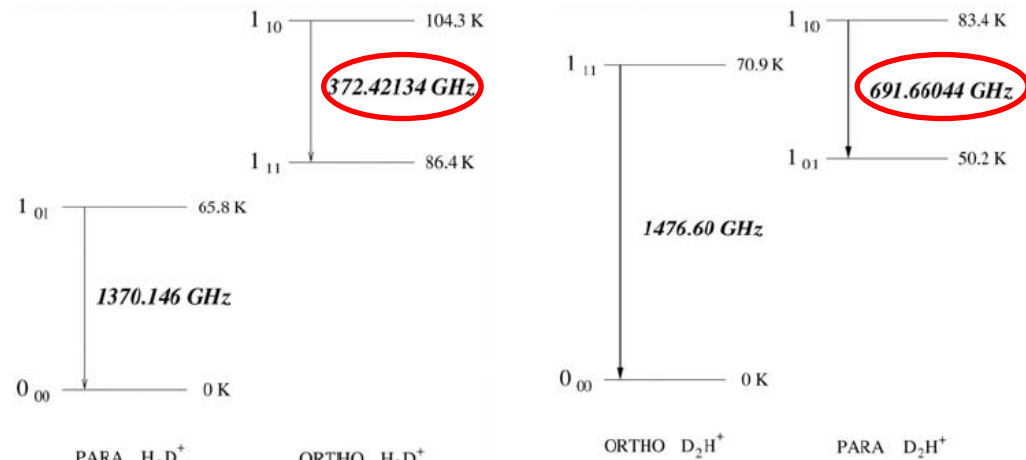
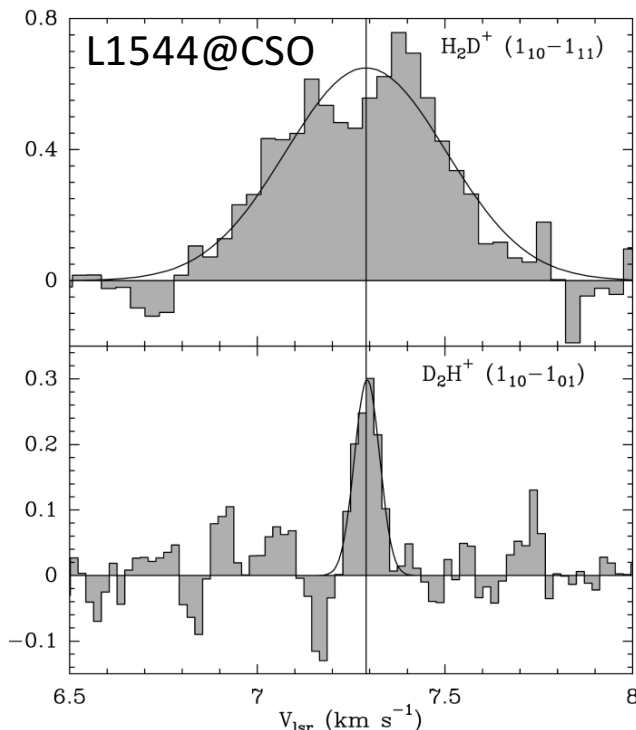


- High D/H propagates to other molecules via reactions



on ice: $\text{D} + \text{X} \rightarrow \text{DX}$

$\text{H}_2\text{D}^+, \text{D}_2\text{H}^+$ にはオルソ・パラが存在。
 $\rightarrow \text{H}_2\text{D}^+/\text{H}_3^+$ 比などの測定にはオルソ
 パラ両方の観測が必要



Stark et al. 1999

Caselli et al. 2003

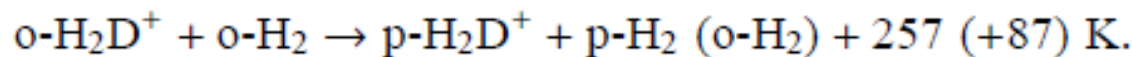
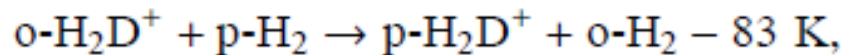
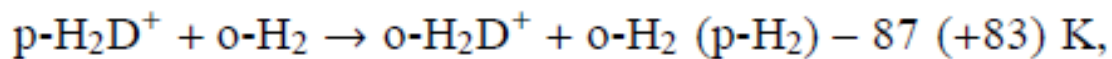
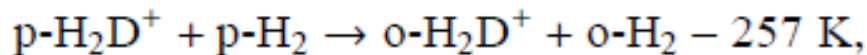
Vastel et al. 2006

重水素濃縮とo/p比

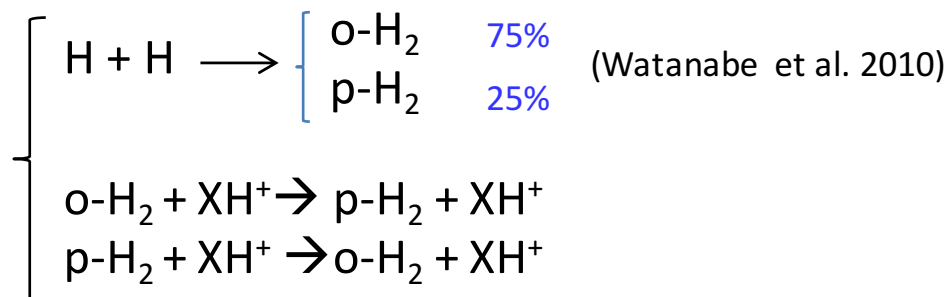
Exothermic exchange reactions



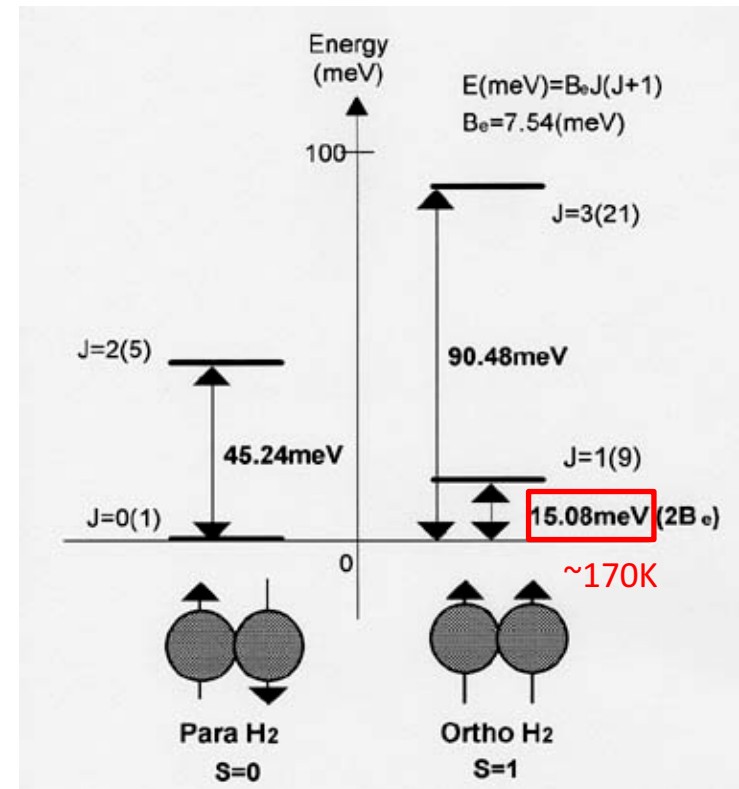
$\text{H}_2, \text{H}_2\text{D}^+$ のo/p比に依る



H₂のo/p比は生成時は3
--> 気相反応により変化



H_2D^+ のオルソ・パラ比
 $\Leftrightarrow \text{H}_2$ のオルソ・パラ比



重水素濃縮とo/p比



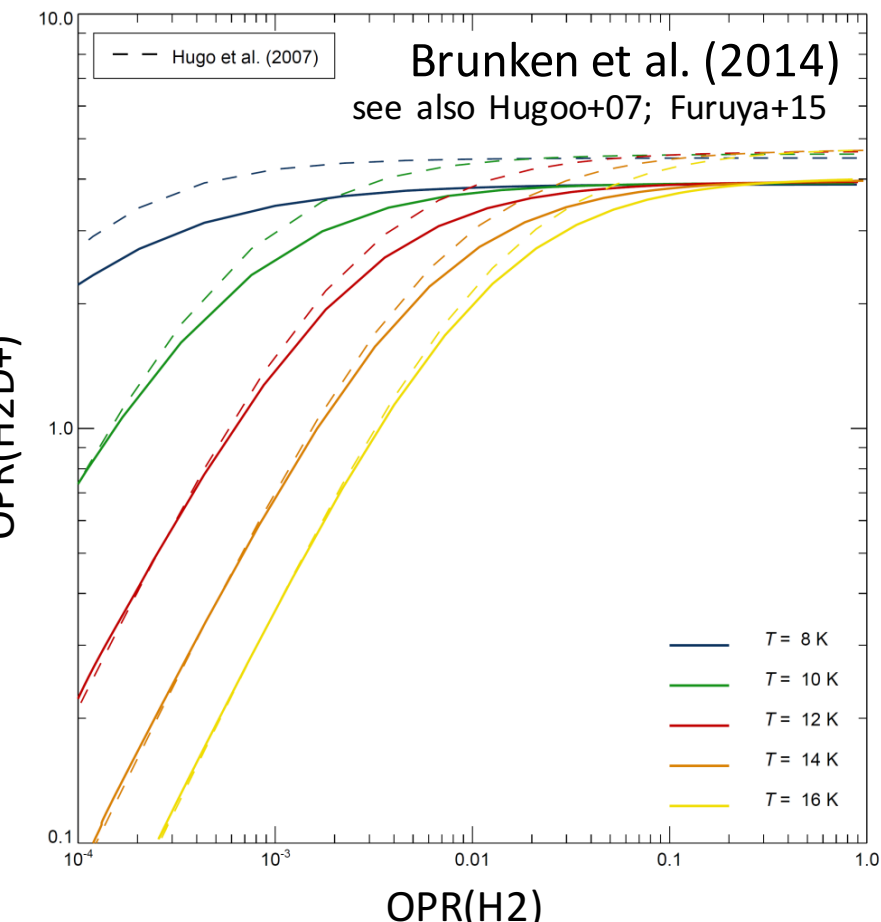
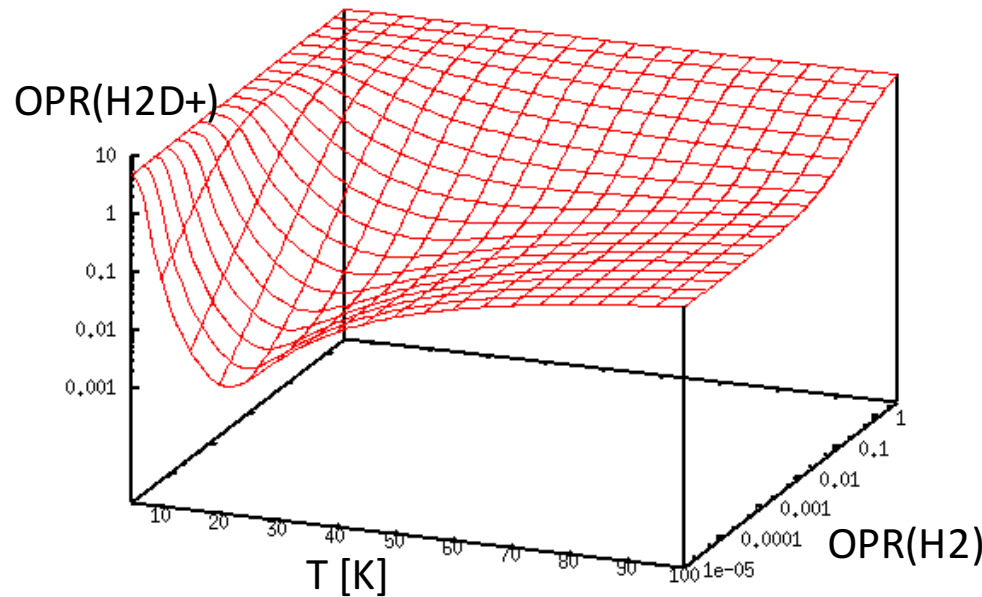
Exothermic exchange reactions



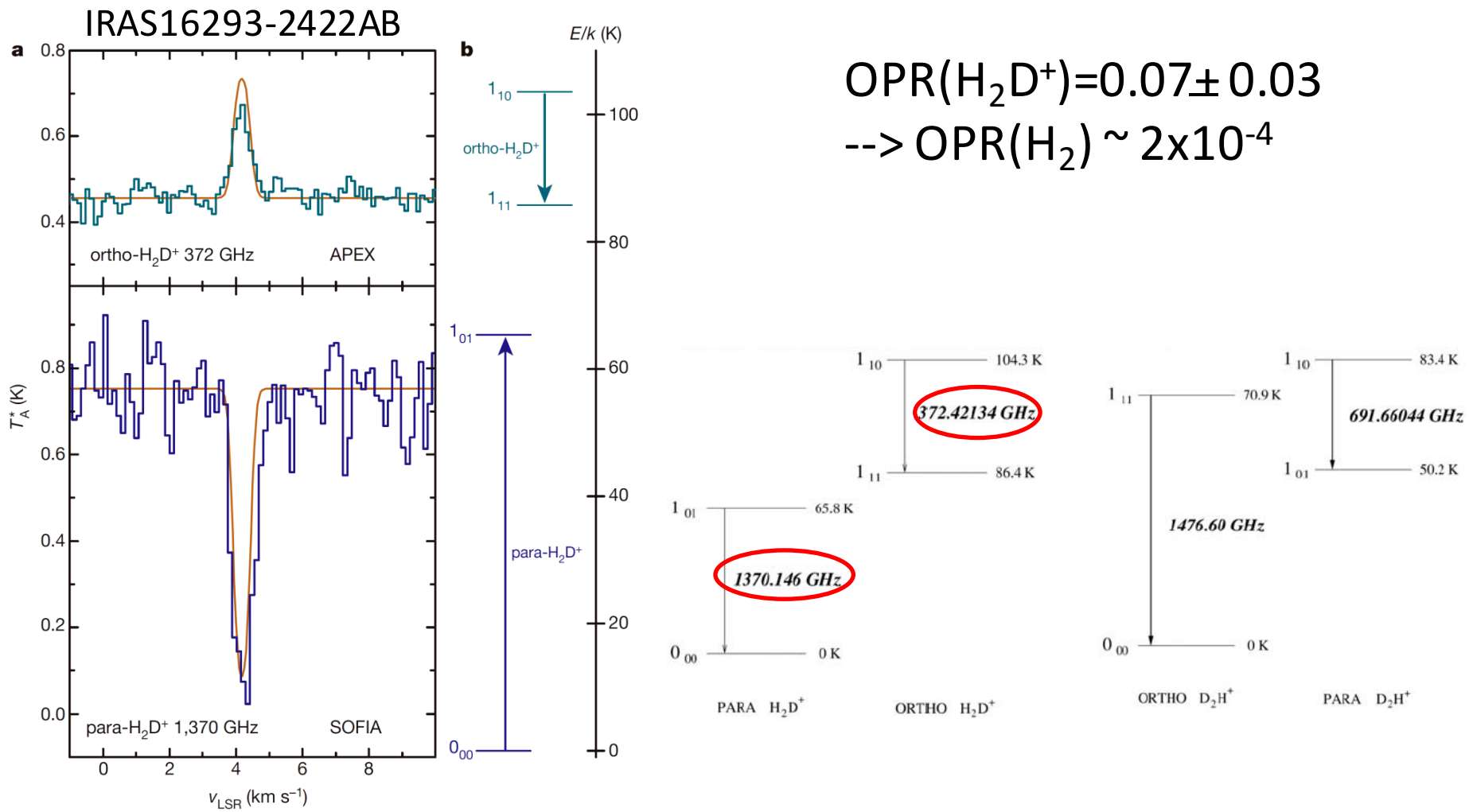
$\text{H}_2, \text{H}_2\text{D}^+$ のo/p比に依る

H_2D^+ のオルソ・パラ比
 $\Leftrightarrow \text{H}_2$ のオルソ・パラ比

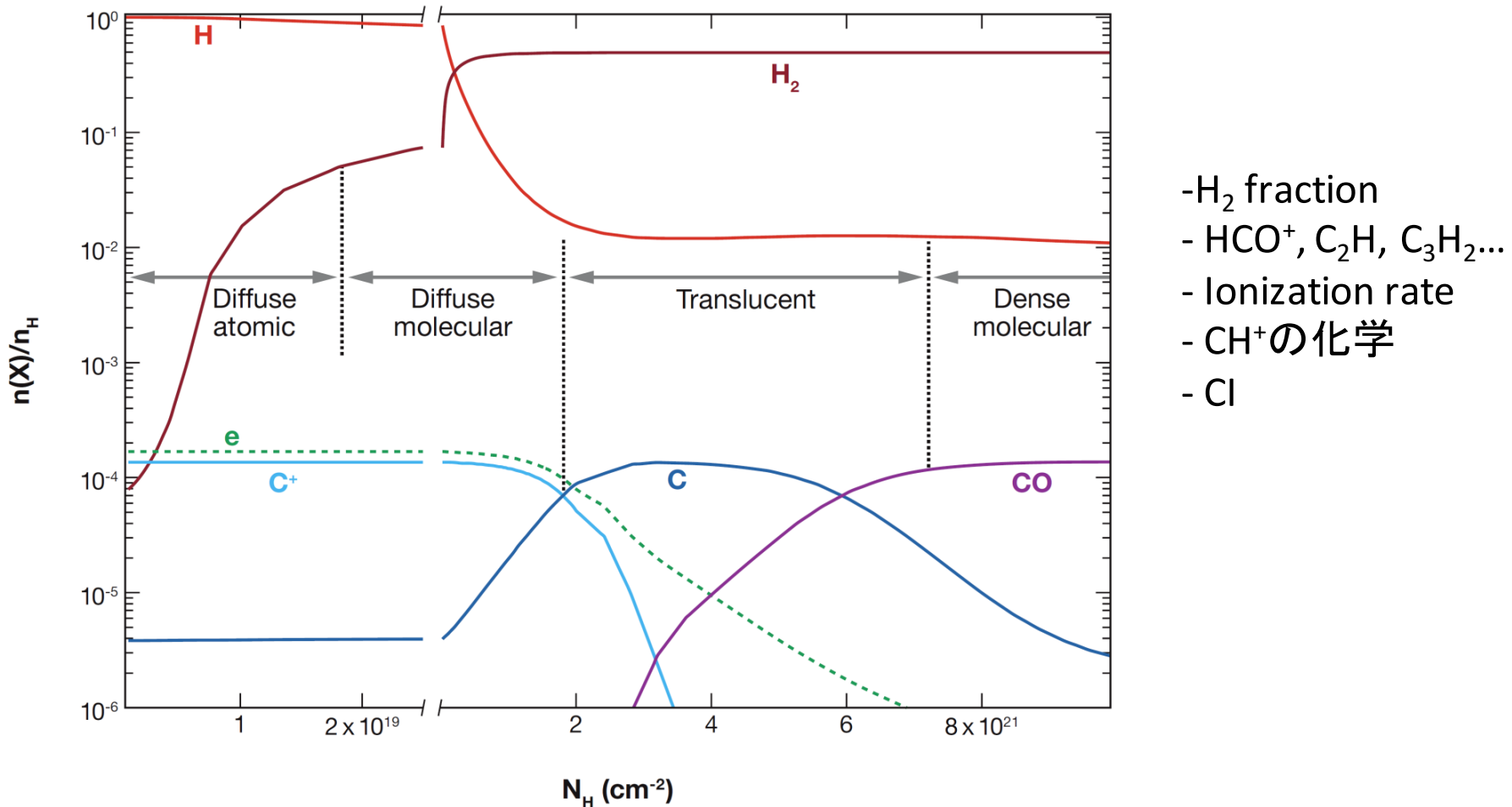
$\text{p-H}_2\text{D}^+ + \text{p-H}_2 \rightarrow \text{o-H}_2\text{D}^+ + \text{o-H}_2 - 257 \text{ K},$
 $\text{p-H}_2\text{D}^+ + \text{o-H}_2 \rightarrow \text{o-H}_2\text{D}^+ + \text{o-H}_2 (\text{p-H}_2) - 87 (+83)$
 $\text{o-H}_2\text{D}^+ + \text{p-H}_2 \rightarrow \text{p-H}_2\text{D}^+ + \text{o-H}_2 - 83 \text{ K},$
 $\text{o-H}_2\text{D}^+ + \text{o-H}_2 \rightarrow \text{p-H}_2\text{D}^+ + \text{p-H}_2 (\text{o-H}_2) + 257 (+83)$



重水素濃縮とo/p比



Diffuse cloudと分子雲形成



- H_2 fraction
- $\text{HCO}^+, \text{C}_2\text{H}, \text{C}_3\text{H}_2\dots$
- Ionization rate
- CH^+ の化学
- CI

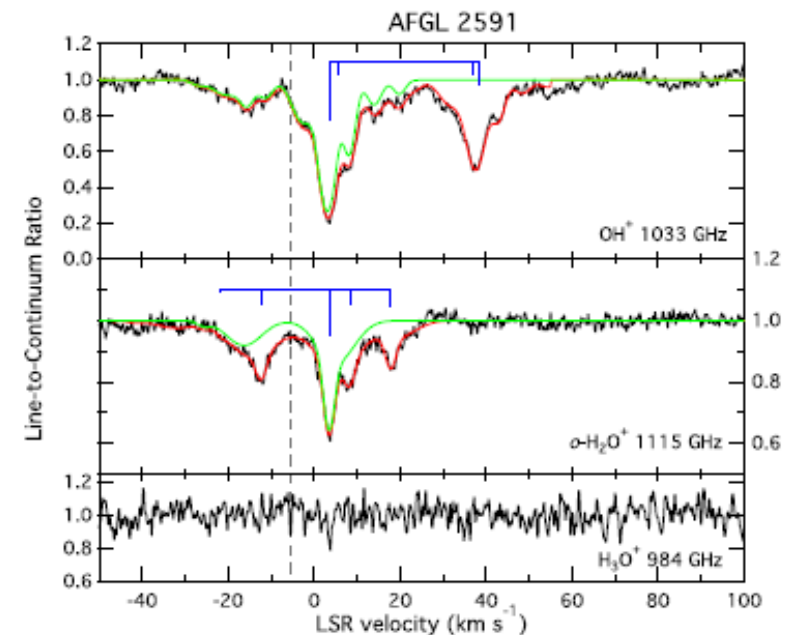
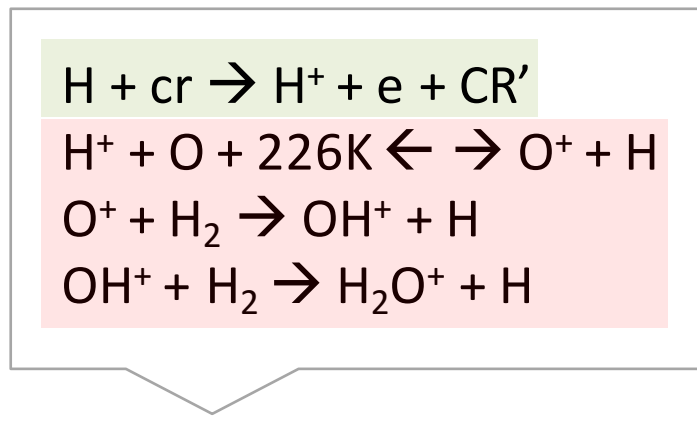
	Diffuse Atomic	Diffuse Molecular	Translucent	Dense Molecular
Defining Characteristic	$f^n_{\text{H}_2} < 0.1$	$f^n_{\text{H}_2} > 0.1$ $f^n_{\text{C}^+} > 0.5$	$f^n_{\text{C}^+} < 0.5$ $f^n_{\text{CO}} < 0.9$	$f^n_{\text{CO}} > 0.9$
A_V (min.)	0	~ 0.2	$\sim 1\text{--}2$	$\sim 5\text{--}10$
Typ. n_H (cm^{-3})	10–100	100–500	500–5000?	$> 10^4$
Typ. T (K)	30–100	30–100	15–50?	10–50
Observational Techniques	UV/Vis HI 21-cm	UV/Vis IR abs mm abs	Vis (UV?) IR abs mm abs/em	IR abs mm em

Snow & McCall
(2006)

H₂ fraction and ionization rate

OH⁺@900GHz, 1030GHz
 H₂O⁺@600GHz
 H₃O⁺@986GHz

H₂ fraction と イオン化率(宇宙線)の指標



$$f_{\text{H}_2} = \frac{2x_e k_7 / k_4}{N(\text{OH}^+)/N(\text{H}_2\text{O}^+) - k_6/k_4},$$

$$\epsilon \zeta_{\text{H}} = \frac{N(\text{OH}^+)}{N(\text{H})} n_{\text{H}} x_e \left[\frac{k_7}{N(\text{OH}^+)/N(\text{H}_2\text{O}^+) - k_6/k_4} + k_5 \right].$$

$$f_{\text{H}_2} = 0.042 \pm 0.018$$

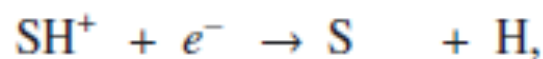
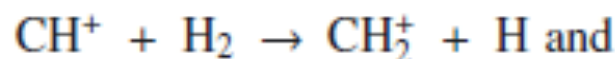
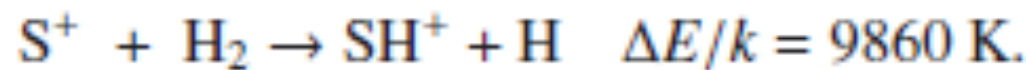
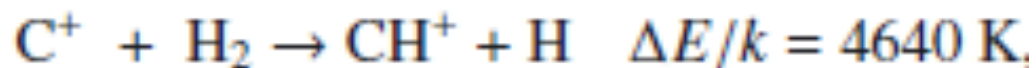
$$\zeta_{\text{H}} = (1.78 \pm 0.29) \times 10^{-16} \text{ s}^{-1}$$

CH⁺ in diffuse clouds

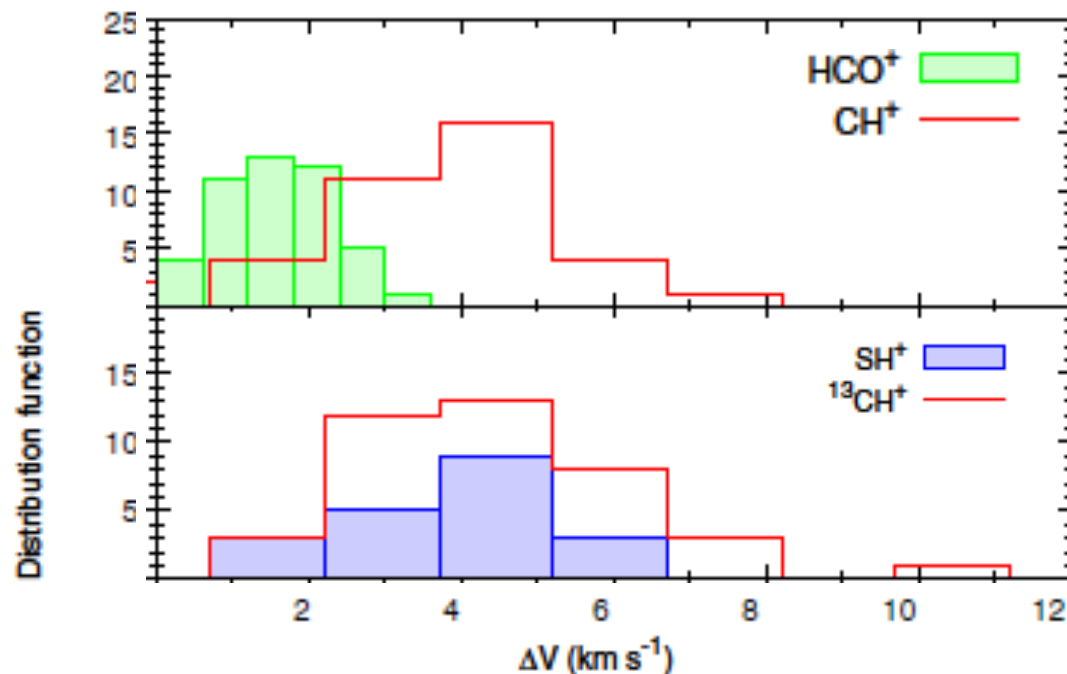
CH⁺@835GHz

¹³CH⁺@830GHz

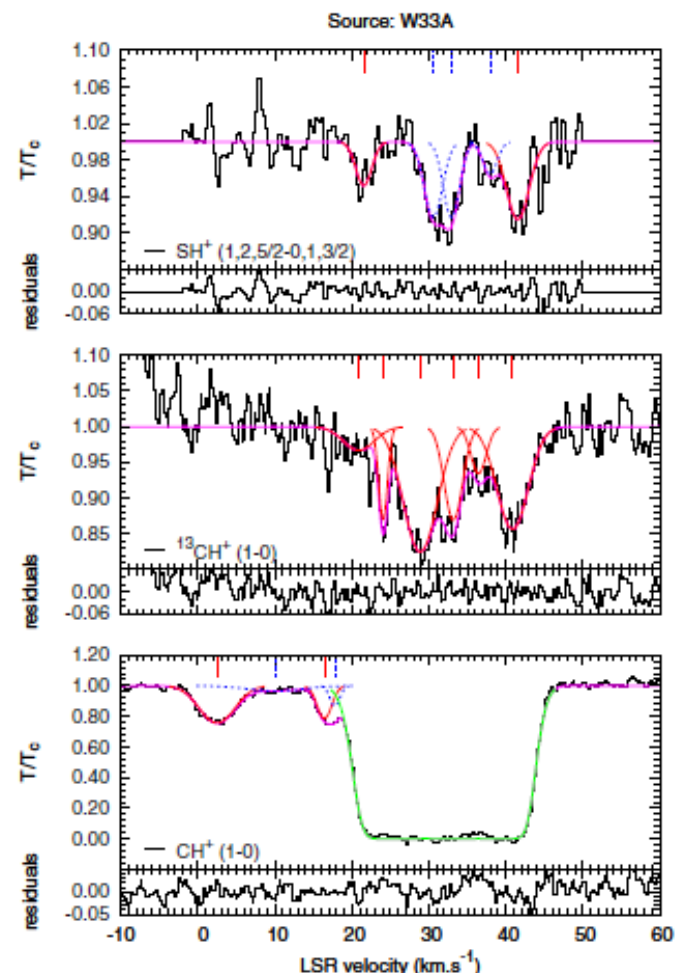
SH⁺: 526GHz



$$\Delta V(\text{HCO}^+) < \Delta V(\text{CH}^+, \text{SH}^+)$$



shockや乱流によるkinetic
エネルギーの散逸を利用する？



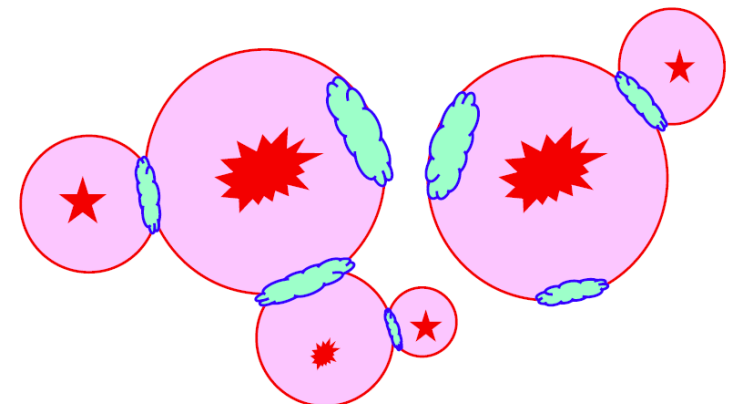
Diffuse cloudと分子雲形成

#分子雲形成は希薄なHIガスの掃き集め

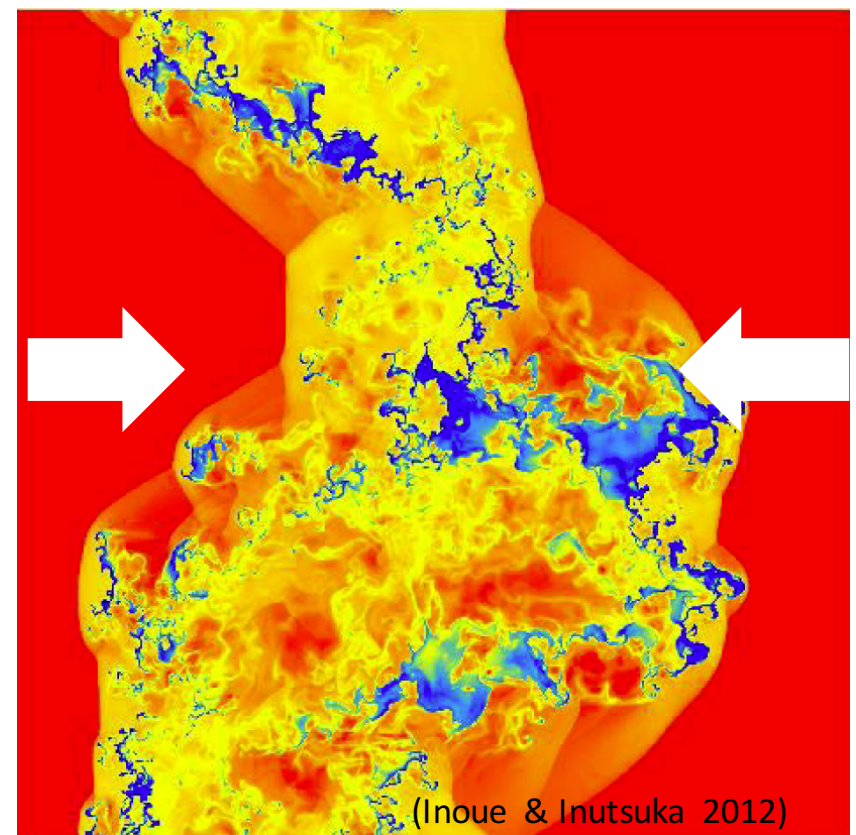
磁場が圧縮を阻害

-->複数回の掃き集めが必要

(Inoue & Inutsuka 2012; Inutsuka et al. 2015)

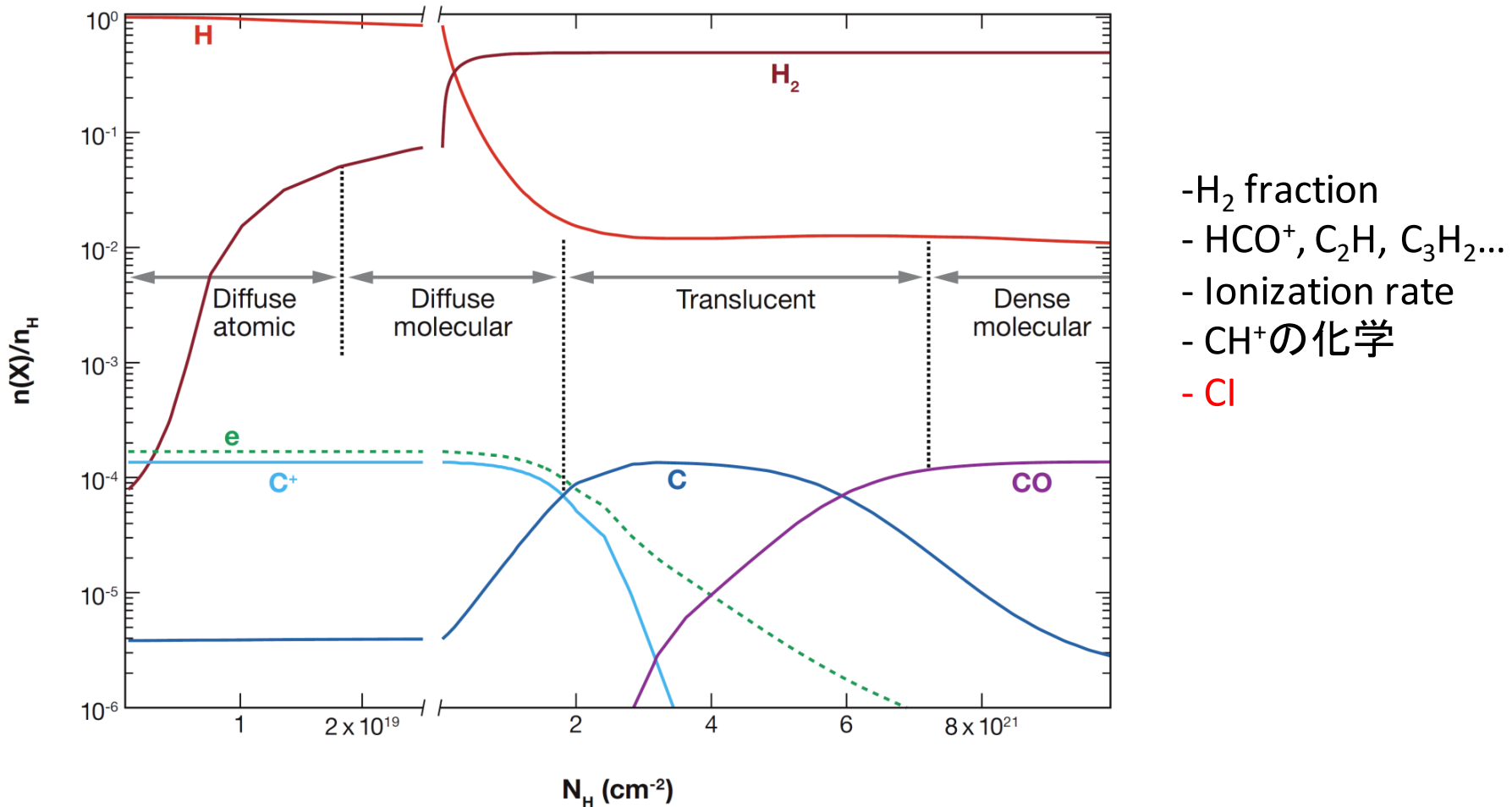


Diffuse cloud は「最終掃き集め」前のガス？



(Inoue & Inutsuka 2012)

Diffuse cloudと分子雲形成



- H_2 fraction
- $\text{HCO}^+, \text{C}_2\text{H}, \text{C}_3\text{H}_2\dots$
- Ionization rate
- CH^+ の化学
- CI

	Diffuse Atomic	Diffuse Molecular	Translucent	Dense Molecular
Defining Characteristic	$f^n_{\text{H}_2} < 0.1$	$f^n_{\text{H}_2} > 0.1$ $f^n_{\text{C}^+} > 0.5$	$f^n_{\text{C}^+} < 0.5$ $f^n_{\text{CO}} < 0.9$	$f^n_{\text{CO}} > 0.9$
A_V (min.)	0	~ 0.2	$\sim 1\text{--}2$	$\sim 5\text{--}10$
Typ. n_H (cm^{-3})	10–100	100–500	500–5000?	$> 10^4$
Typ. T (K)	30–100	30–100	15–50?	10–50
Observational Techniques	UV/Vis HI 21-cm	UV/Vis IR abs mm abs	Vis (UV?) IR abs mm abs/em	IR abs mm em

Snow & McCall
(2006)

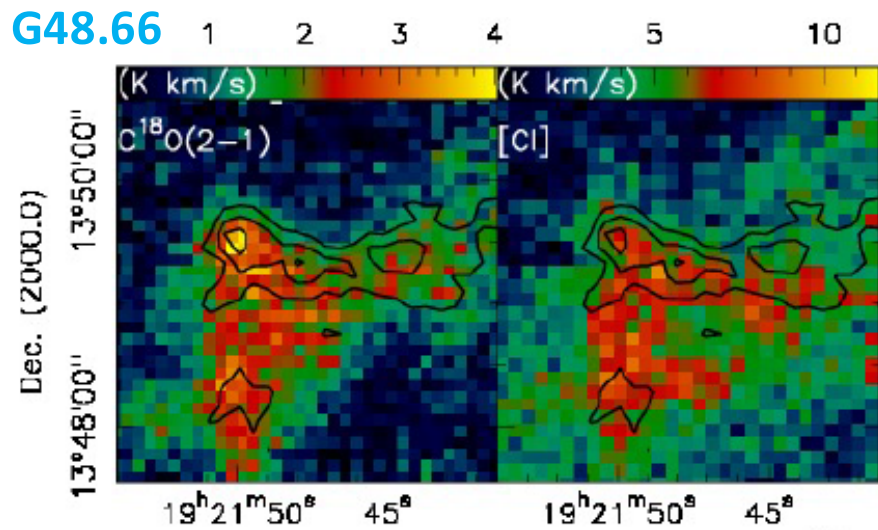
CII/CI/CO in IRDC

Beuther et al. (2014)

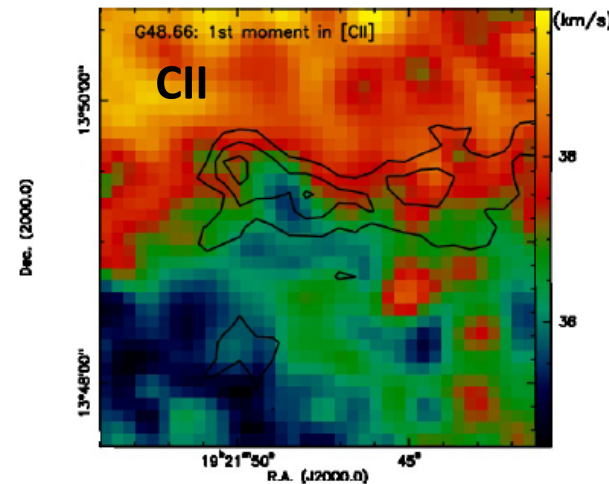
CII@1900GHz (Herschel & SOFIA)

CI@492GHz (APEX)

CO@219GHz (IRAM30m)



Intensity-weighted velocity



phase	G11.11 (M _⊙)	G48.66 (M _⊙)	IRDC18223 (M _⊙)	IRDC18454 ³ (M _⊙)
CO	0.81	0.30	1.84	13.4
[CI]	0.056	0.025	0.21	1.6
[CII]@50K	< 0.012	0.12 ¹	0.54	14.8
[CII]@100K	< 0.005	0.05 ¹	0.21	5.7
CO/[CI]/[CII]@50K	14.5/1/>0.2	12/1/4.8	8.8/1/2.6	8.4/1/3.6 ²
Approx. area of emission (pc ²) ⁴	5.2	3.7	6.5	31.4

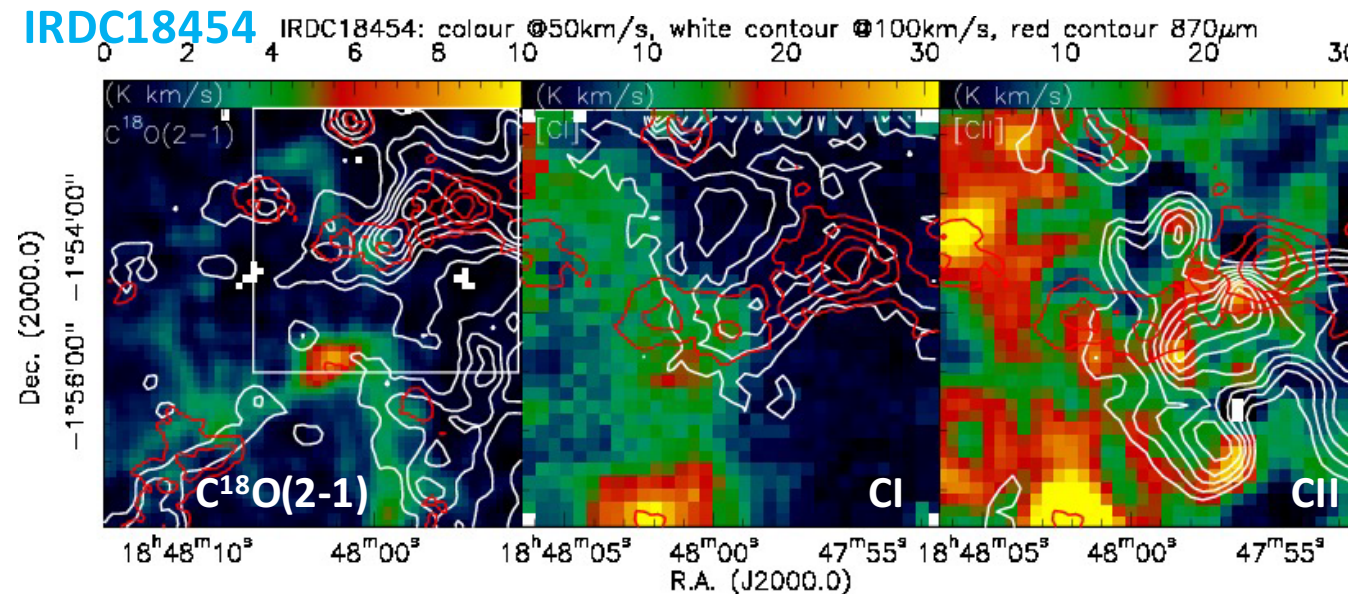
CII/CI/CO in IRDC

Beuther et al. (2014)

CII@1900GHz (Herschel & SOFIA)

CI@492GHz (APEX)

CO@219GHz (IRAM30m)



phase	G11.11 (M _⊙)	G48.66 (M _⊙)	IRDC18223 (M _⊙)	IRDC18454 ³ (M _⊙)
CO	0.81	0.30	1.84	13.4
[CI]	0.056	0.025	0.21	1.6
[CII]@50K	< 0.012	0.12 ¹	0.54	14.8
[CII]@100K	< 0.005	0.05 ¹	0.21	5.7
CO/[CI]/[CII]@50K	14.5/1/>0.2	12/1/4.8	8.8/1/2.6	8.4/1/3.6 ²
Approx. area of emission (pc ²) ⁴	5.2	3.7	6.5	31.4

星間化学における テラヘルツ単一鏡観測の役割

ALMAで観測できない
(容易でない)周波数

広がった天体

テラヘルツ領域の輝線

@Herschel, CSO...

高励起(高臨界密度)ライン

$$\because E(J+1) - E(J) = 2hcB(J+1)$$

$$A_{21} \propto v^3$$

⇒ 星形成コア中心部の化学

Hydrates

- H₂D⁺ & D₂H⁺
- CH⁺
- OH⁺
- Cl

⇒ 重水素の化学

⇒ Diffuse cloud と 分子雲形成